

マグ溶接におけるソリッドワイヤとフラックス入りワイヤのスパッタ量の比較

居村 篤志* 増子 夢哉** 三輪 岳志*** 藤井 信之*

Comparison of the amount of spatter of the solid wire and the flux cored wire in MAG welding

Atsushi Imura* Yumeya Masuko** Takeshi Miwa*** Nobuyuki Fujii*

In MAG welding, the solid wire and the flux cored wire are used. About the amount of spatter which occurs in welding, if a solid wire is compared with a flux cored wire, it is known that there are large amounts of spatter of a solid wire. And, this matter is described in various textbooks and reference books.

However, when the detailed experiment was conducted, a completely different result was obtained. When CO₂ gas and the welding current 180A are used, the amount of spatter of the solid wire was about 35% of the flux cored wire. And, when mixed gas (Ar-80%, CO₂-20%) and the same welding current, the amount of spatter of the solid wire was about 25% of the flux cored wire.

Keywords: MAG welding, solid wire, flux cored wire, spatter

1. はじめに

わが国では年間約30万トンの溶接ワイヤが生産されている。その内の約70%がマグ溶接(MAG: Metal Active Gas Arc Welding)用ワイヤである。この溶接では、ソリッドワイヤとフラックス入りワイヤが使われている。

ソリッドワイヤは、全体が金属だけでできているワイヤであり年間約9万トン、フラックス入りワイヤは、ワイヤの内部にアーク安定剤、合金添加剤、脱酸剤などが充填されたワイヤで年間約12万トンが使用されている⁽¹⁾。そして、両者を比較した場合、以下のことが特徴として

挙げられる⁽²⁾。(i) フラックス入りワイヤのスパッタ量が少ない⁽³⁾、(ii) フラックス入りワイヤの溶着速度が速い、(iii) フラックス入りワイヤのビード外観が優れている、(iv) フラックス入りワイヤのヒューム発生量が多い。

しかし、目的を異にした研究の中で、“ソリッドワイヤのスパッタ量が多い”ことに疑問を呈する結果が確認された。そこで、複数の両ワイヤを取り上げ、同一条件のもとで使用し、スパッタ及びスラグができる限り精確に捕集し、その量、サイズについて検証を行った。その結果について報告する。

* 職業能力開発総合大学校

Polytechnic University

** 株式会社 レッドバロン

RED BARON Co.,Ltd.

*** 職業能力開発総合大学校

Polytechnic University, Undergraduate

機械制御システム工学科4年

Course of Mechanical and Control System

Engineering

2. 実験概要

2.1 実験方法

捕集装置についてはWES 2807(2010年)に基づき、市販の工具箱を改造し作製した⁽⁴⁾。スパッタ及びスラグの捕集容器を図1に示す。

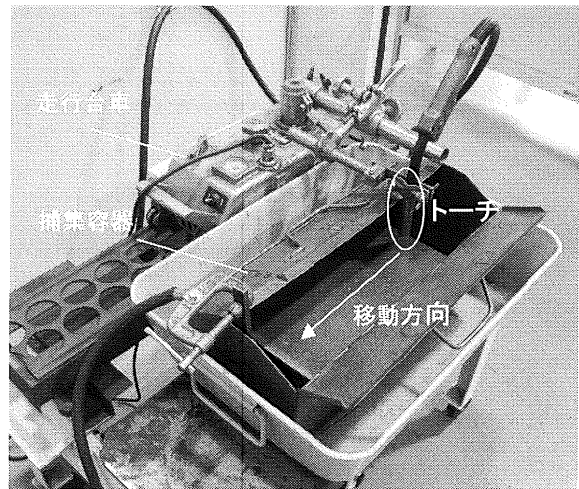


図1 スパッタ及びスラグの捕集容器

捕集容器の内部に $t30 \times 380 \times 150\text{ mm}$ (SS400) の鋼板を設置し、鋼板上に3本のビードを置いた。1本のビード作製時間は1分である。溶接トーチは捕集容器上部に開けられた幅30mmの隙間を介して捕集容器内に入れられた。溶接トーチ挿入後の30mmの隙間については牛革シートで覆い、捕集容器外へのスパッタ及びスラグの飛散を防いだ。また、溶接トーチは自動走行台車に固定され、移動させられた。

2.2 実験条件

溶接機にはダイヘン製DP350を使用し、パルス無し直流で溶接ビードを置いた。使用した条件を表1に示す。

表1 溶接条件

溶接電流		180A
シールド	(CO ₂ 100%)	15ℓ/min
ガス流量	(Ar80%, CO ₂ 20%)	20ℓ/min
ワイヤ突出し長さ、アーケ長		12mm, 3mm
溶接速度		250mm/min
溶接姿勢、トーチ角度		下向き、垂直

今回使用した $\phi 1.2\text{mm}$ のワイヤの短絡移行での適正溶接電流の範囲が、約 120A から約 240A とされており、確実な短絡移行の状態を得るため、溶接電流を適正範囲の中間の 180A とした。

2.3 溶接ワイヤ

ソリッドワイヤ4種類 ($\phi 1.2$)、フラックス入りワイヤ3種類 ($\phi 1.2$)、計7種類使用した。ソリッドワイヤ4種類をS1, S2, S3, S4とする。また、フラックス入りワイヤ3種類をF1, F2, F3とする。使用したワイヤの規格を表2に示す^{(5), (6)}。使用したワイヤの成分を表3に示す。

表2 ワイヤの規格

S1	JISZ3312 YGW12
S2	JISZ3312 YGW11
S3	JISZ3312 YGW12
S4	JISZ3312 G49A2M16
F1	JISZ3313 T49J0T15-1CA-U
F2	JISZ3313 T49J0T1-1CA-U
F3	JISZ3313 T430T1-1CA

表3 ワイヤの成分

	C	Si	Mn	P	S
S1	0.06	0.84	1.41	0.011	0.010
S2	0.08	0.51	1.10	0.010	0.010
S3	0.07	0.49	1.02	0.008	0.016
S4	0.08	0.60	1.01	0.010	0.006
F1	0.08	0.49	1.53	0.013	0.013
F2	0.05	0.45	1.35	0.013	0.009
F3	0.05	0.46	1.33	0.015	0.010

2.4 スパッタおよびスラグの捕集方法

溶接終了後、(i)ビードを置いた鋼板上、トーチノズル内、捕集容器内に飛散したスパッタ、スラグを刷毛、ラジオペンチ、ピンセットを使

い、ごみなどの異物が混入しないように注意し収集した。(ii)次に、チッピングハンマ、たがね、スクレーパなどを使い鋼板上に付着したスパッタ、スラグを収集した。スパッタの定義では、飛散したスラグはスパッタに含まれる⁽⁷⁾。よって、(i)で収集したものは、全てスパッタとして扱った。(ii)で収集したものについては、目視によって、スパッタとスラグに分別した。(iii)同時に、ビードを覆ったスラグはスパッタには含まれないので、F2 及び F3 では、自然剥離したスラグを、破壊することなく慎重に収集した。図2は自然剥離したスラグである。

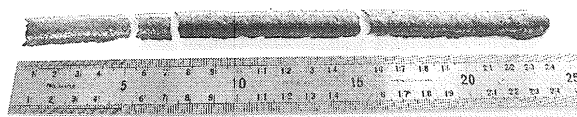


図2 自然剥離したスラグ

3. 実験結果及び考察

鋼板上に置かれた 3 本のビードを図3に示す。スパッタ、スラグ捕集済の試験片である。ビード長さは約 250mm である。

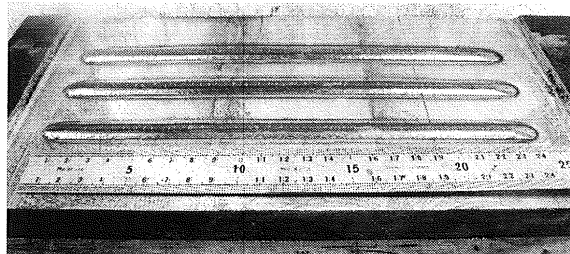
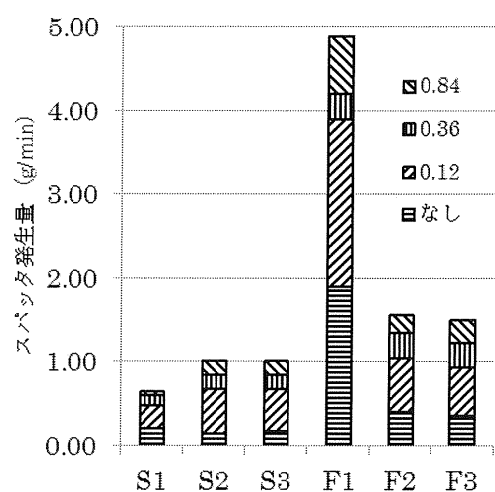


図3 鋼板上に置かれたビード

表4と図4に炭酸ガス使用時のスパッタ発生量(g/min)を示す。表及び図中の“なし”とは、全てのふるいを通した後に残った質量のことである。

表4 炭酸ガス(CO₂:100%)使用時のスパッタ発生量(g/min)

ふるいの目(mm)	S1	S2	S3	F1	F2	F3
0.84	0.05	0.16	0.17	0.68	0.21	0.27
0.36	0.12	0.17	0.16	0.31	0.30	0.29
0.12	0.27	0.54	0.50	2.00	0.64	0.59
なし	0.21	0.14	0.18	1.90	0.41	0.35
合計	0.65	1.01	1.01	4.89	1.56	1.50

図4 炭酸ガス(CO₂:100%)使用時のスパッタ発生量(g/min)

全体にわたって、ふるいのサイズ 0.12 及び “なし” における計測量が全スパッタ量の 60 ~70%程度を占め、特に F1 にいたっては、約 80%になることが分かる。スパッタは細かいものが多く、目視では定量的に判断することは難しい。

シールドガスに炭酸ガスを使用した場合、溶接電流 180A では、ソリッドワイヤ (S1, 2, 3) のスパッタ量はフラックス入りワイヤ (F1, 2, 3) のそれよりはるかに少ないことがわかる。ソリッドワイヤについては、200A から 250A 程度の電流域で、溶融金属の移行現象が変化することが知られている。炭酸ガスを用い

た 200A 以下の溶接では短絡移行、250A 以上の電流値の使用では塊状(グロビュール)移行である。短絡移行では、塊状移行のようにワイヤ径よりも大きくなつた粒が母材へ移行することがないため、スパッタ径が小さく、量も少なくなったと考えられる。

表 5 と図 5 に炭酸ガス使用時のスラグ発生量(g/min)を示す。

F1 は自然剥離型ワイヤではないため、飛散したスラグが多くスパッタとして扱われたと思われる。F2, F3 については、自然剥離したスラグがスラグ量の 95%以上を占めていることがわかつた。

表5 炭酸ガス(CO_2 :100%)使用時のスラグ発生量(g/min)

ふるいの目(mm)	S1	S2	S3	F1	F2	F3
0.84	0.33	0.02	0.39	0.38	0.04	0.08
0.36	0.10	0.25	0.05	0.14	0.08	0.06
0.12	0.05	0.03	0.03	0.04	0.01	0.02
なし	0.00	0.00	0.00	0.00	0.00	0.00
自然剥離	0.00	0.00	0.00	0.00	3.90	3.90
合計	0.48	0.30	0.47	0.56	4.03	4.06

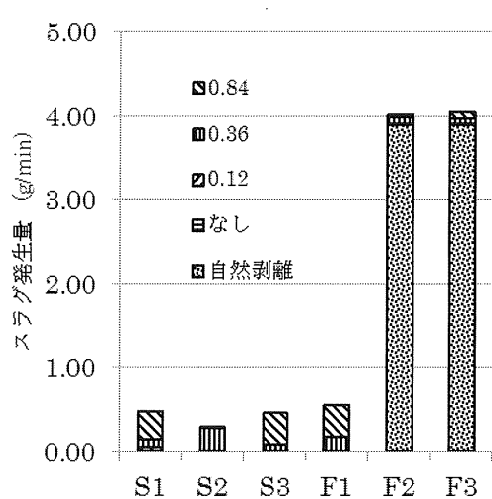


図5 炭酸ガス(CO_2 :100%)使用時のスラグ発生量(g/min)

表 6 と図 6 に混合ガス(Ar-80%, CO_2 -20%)使用時のスパッタ発生量(g/min)を示す。F2, F3 については、混合ガスでの使用には適していないため、使用しなかつた。

表6 混合ガス(Ar:80%, CO_2 :20%)使用時のスパッタ発生量(g/min)

ふるいの目(mm)	S1	S3	S4	F1
0.84	0.01	0.01	0.02	0.12
0.36	0.06	0.02	0.08	0.16
0.12	0.20	0.10	0.30	0.99
なし	0.31	0.21	0.38	1.04
合計	0.58	0.34	0.78	2.31

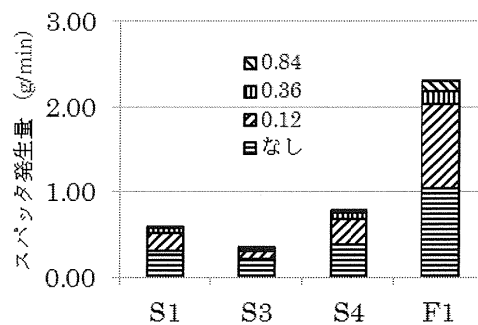


図6 混合ガス(Ar:80%, CO_2 :20%)使用時のスパッタ発生量(g/min)

シールドガスに混合ガスを使用した場合、スパッタ量は、炭酸ガスを使用した時より減少している。しかし、ここでもスパッタの発生量についてはソリッドワイヤがフラックス入りワイヤより少ないことが分かる。さらに、ふるいのサイズ 0.12 及び “なし” における計測量が全体の約 90% と炭酸ガスを使用した時よりスパッタが細かくなっていることが分かる。

混合ガスを使用した場合では、ソリッドワイヤのスパッタ量はフラックス入りワイヤの約 25% である。混合ガス使用時には、大電流域でスプレー移行となることが知られているが、短絡移行領域でも溶滴が小さくなるため、スパッ

タ径が小さく、量も減少したと考えられる。

表7と図7に混合ガス使用時のスラグ発生量(g/min)を示す。

ここでもF1は自然剥離型ワイヤではないため、炭酸ガスを使用した時と同様に、飛散したスラグが多くスパッタとして扱われたと思われる。

表7 混合ガス(Ar:80%,CO₂:20%)使用時のスラグ発生量(g/min)

ふるいの目(mm)	S1	S3	S4	F1
0.84	0.01	0.09	0.03	0.14
0.36	0.01	0.05	0.06	0.02
0.12	0.03	0.02	0.04	0.03
なし	0.00	0.00	0.00	0.00
合計	0.05	0.16	0.13	0.19

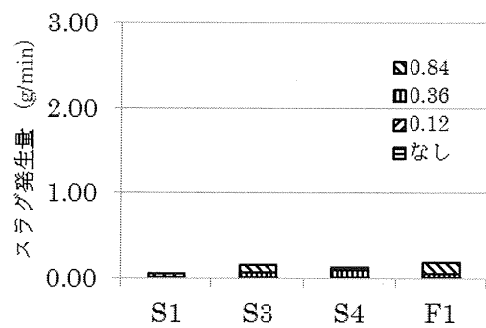


図7 混合ガス(Ar:80%,CO₂:20%)でのスラグ発生量(g/min)

“フラックス入りワイヤに比べソリッドワイヤのスパッタ量が多い”とする根拠に使われている実験例は、200A以上のものであり、短絡移行の範囲のものは無い。したがって、“ソリッドワイヤのスパッタ量が多い”とする概念は、短絡移行の範囲では該当しないと考えられる。この事象についてはテキスト等で、明確に記述すべきことだと考えている。

4. まとめ

シールドガスに炭酸ガスを使用した場合、溶接電流180Aでは、ソリッドワイヤのスパッタ量はフラックス入りワイヤの約35%であり、混合ガスを使用した場合は約25%であった。どちらの結果からも、ソリッドワイヤのスパッタ量が多いとする事象を認めることはできなかった。

“ソリッドワイヤのスパッタ量が多い”とする概念は、短絡移行の範囲では該当しないと思われる。

参考文献

- (1) 溶接材料年間出荷量の推移
<http://www-it.jwes.or.jp/statistics/statistics3.jsp> (社)日本溶接協会 溶接情報センター 2011年11月10日.
- (2) 接合・溶接技術Q&A1000編集委員会：“接合・溶接技術Q&A1000”，株式会社産業技術サービスセンター, pp. 719, (1999).
- (3) 職業能力開発総合大学校 能力開発研究センター編：“溶接〔I〕”，職業訓練教材研究会, pp. 27, (2007).
- (4) 日本溶接協会規格：“WES 2807 マグ溶接の全スパッタ量測定方法”, (2010).
- (5) 日本規格協会：“JIS Z 3312 軟鋼, 高張力鋼及び低温用鋼用のマグ溶接及びミグ溶接ソリッドワイヤ”, (2009).
- (6) 日本規格協会：“JIS Z 3313 軟鋼, 高張力鋼及び低温用鋼用アーク溶接フラックス入りワイヤ”, (2009).
- (7) 日本規格協会：“JIS Z 3001-2 溶接用語 第2部：溶接方法”, (2008).